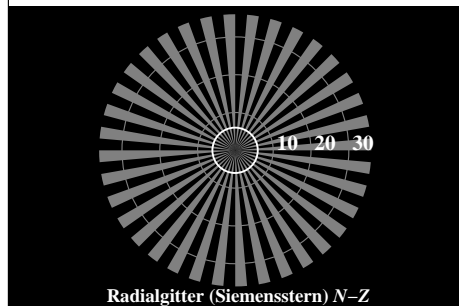


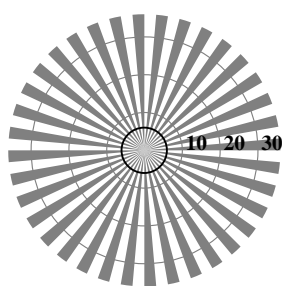
Radialgitter (Siemensstern) N-W



Radialgitter (Siemensstern) W-N

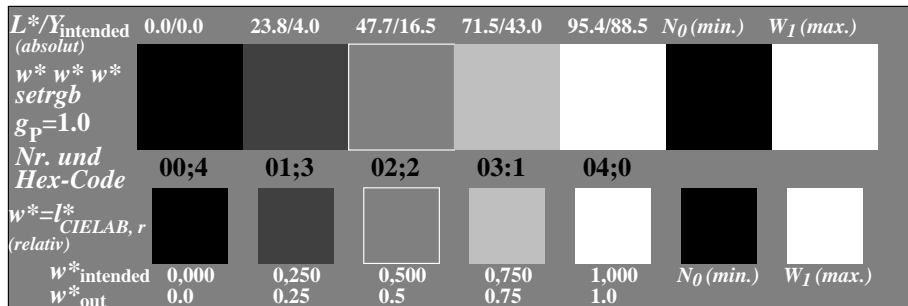


Radialgitter (Siemensstern) N-Z

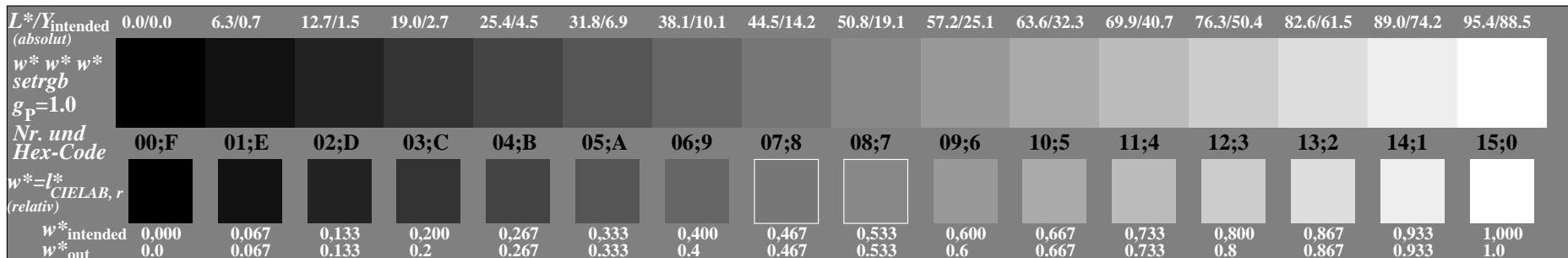


Radialgitter (Siemensstern) W-Z

OG520-3N, Bild A1-130-0: Radialgitter N-W, W-N, N-Z, W-Z; PS-Operator: $w^* w^* w^* \text{setrgbcolor}$



OG520-5N, Bild A2-130-0: 5 gleichabständige L^* -Graustufen + N_0 + W_1 ; PS-Operator: $w^* w^* w^* \text{setrgbcolor}$



OG520-7N, Bild A3-130-0: 16 visuell gleichabständige L^* -Graustufen; PS-Operator: $w^* w^* w^* \text{setrgbcolor}$

OG52: ähnlich MG16 nach ISO 9241-306; 1MR, DH

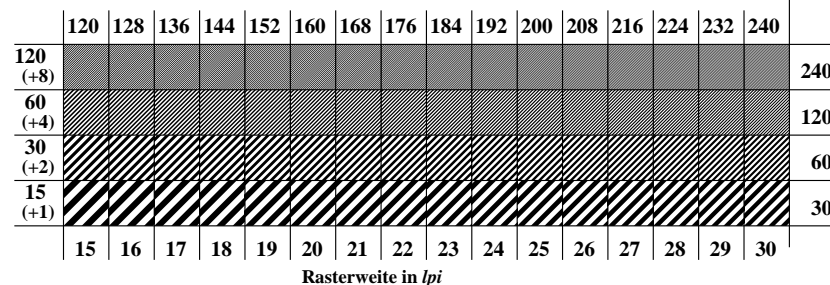
Gesehener Y-Kontrast $Y_W:Y_N=88,9:0,31$; Y_N -Bereich 0,0 to <0,46 Ausgabe 130-0: $g_p=1.0$; $g_N=1.0$

Umfeldstufe	0	7	E	2	8	F
Hex-Code						
Ringstufe	0-1	7-8	E-F	2-0	8-6	F-D
Hex-Code						

Landoltringe W-N

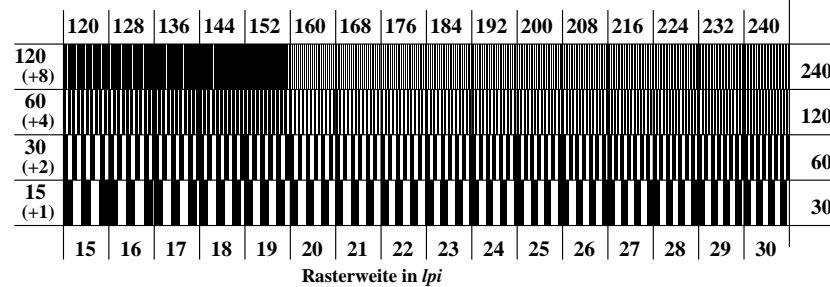
Code: Umfeld-Ring

OG521-1N, Bild A4-130-0: Landoltringe W-N; PS-Operator: $w^* w^* w^* \text{setrgbcolor}$



Rasterweite in lpi

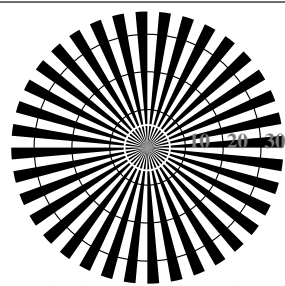
OG521-3N, Bild A5-130-0: Linienraster unter 45° (oder 135°); PS-Operator: $w^* w^* w^* \text{setrgbcolor}$



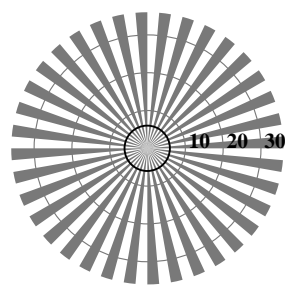
Rasterweite in lpi

OG521-5N, Bild A6-130-0: Linienraster unter 90° (oder 0°); PS-Operator: $w^* w^* w^* \text{setrgbcolor}$

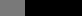





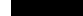
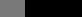





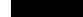
Eingabe: $\text{cmy0} (-> \text{rgb}^*_d) \text{setcmyk}$



Radialgitter (Siemensstern) W-N



Radialgitter (Siemensstern) W-Z

$L^*/Y_{intended}$ (<i>absolut</i>)	5.6/0.6	28.1/5.5	50.5/18.8	72.9/45.1	95.4/88.5	N_0 (<i>min.</i>)	W_I (<i>max.</i>)
$w^* w^* w^*$ <i>setrgb</i> $g_N=1.18$							
<i>Nr. und Hex-Code</i>	00;4	01;3	02;2	03;1	04;0		
$w^*=l^*$ <i>CIELAB, r</i> (<i>relativ</i>)							
$w^*_{intended}$	0,000	0,250	0,500	0,750	1,000	N_0 (<i>min.</i>)	W_I (<i>max.</i>)
w^*_{out}	0.0	0.194	0.441	0.712	1.0		

L^*/Y_i intended (absolut)	5.6/0.6	11.6/1.3	17.6/2.4	23.6/3.9	29.6/6.0	35.5/8.8	41.5/12.2	47.5/16.4	53.5/21.5	59.5/27.5	65.5/34.6	71.4/42.8	77.4/52.3	83.4/63.0	89.4/75.0	95.4/88.5
$w^* w^* w^*$ setrgb $g_N=1.08$																
Nr. und Hex-Code	00;F	01;E	02;D	03;C	04;B	05;A	06;9	07;8	08;7	09;6	10;5	11;4	12;3	13;2	14;1	15;0
$w^*=l^*$ CI_{LAB}, r (relativ)																
$w^*_{intended}$	0,000	0,067	0,133	0,200	0,267	0,333	0,400	0,467	0,533	0,600	0,667	0,733	0,800	0,867	0,933	1,000
w^*_{out}	0.0	0.053	0.112	0.175	0.239	0.304	0.371	0.439	0.506	0.575	0.645	0.714	0.785	0.857	0.927	1.0

Gesehener Y-Kontrast $Y_W:Y_N=88,9:0,62$; Y_N -Bereich 0,46 to $<0,9$ Ausgabe 130-0: $g_P=1,0$; $g_N=1,08$

Code: Umfeld-Ring

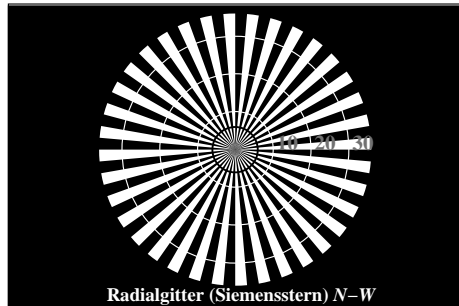
	120	128	136	144	152	160	168	176	184	192	200	208	216	224	232	240	
120 (+8)																	240
60 (+4)																	120
30 (+2)																	60
15 (+1)																	30
	15	16	17	18	19	20	21	22	23	24	25	26	27	28	29	30	

Rasterweite in lpi

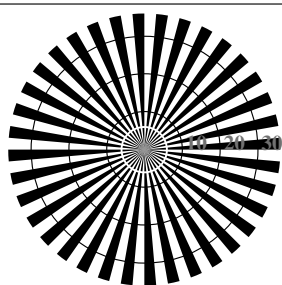
Das Diagramm zeigt die Rasterweite in lpi für verschiedene Auflösungen. Die Auflösungen sind 120, 60, 30 und 15 lpi. Die Rasterweite ist in vier Spalten unterteilt: 120, 128, 136, 144, 152, 160, 168, 176, 184, 192, 200, 208, 216, 224, 232, 240. Die Balken sind in vier Spalten unterteilt: 120, 128, 136, 144, 152, 160, 168, 176, 184, 192, 200, 208, 216, 224, 232, 240. Die Balken sind in vier Spalten unterteilt: 120, 128, 136, 144, 152, 160, 168, 176, 184, 192, 200, 208, 216, 224, 232, 240. Die Balken sind in vier Spalten unterteilt: 120, 128, 136, 144, 152, 160, 168, 176, 184, 192, 200, 208, 216, 224, 232, 240.

6.4	53.5/21.5	59.5/27.5	65.5/34.6	71.4/42.8	77.4/52.3	83.4/63.0	89.4/75.0	95.4/88.5
8	08;7	09;6	10;5	11;4	12;3	13;2	14;1	15;0
67 39	0.533 0.506	0.600 0.575	0.667 0.645	0.733 0.714	0.800 0.785	0.867 0.857	0.933 0.927	1.000 1.0

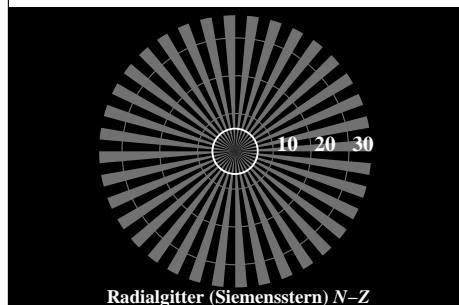
h 0,46 to <0,9 Ausgabe 130-0: $g_P=1.0$; $g_N=1.08$



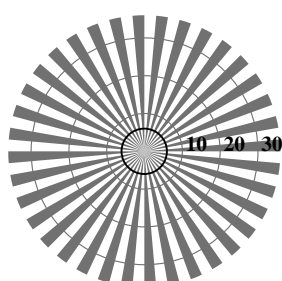
Radialgitter (Siemensstern) N-W



Radialgitter (Siemensstern) W-N



Radialgitter (Siemensstern) N-Z



Radialgitter (Siemensstern) W-Z

OG520-3N, Bild A1-132-0: Radialgitter N-W, W-N, N-Z, W-Z; PS-Operator: $w^* w^* w^* \text{setrgbcolor}$

L^*/Y_{intended} (absolut)	10.9/1.2	32.0/7.1	53.2/21.2	74.3/47.1	95.4/88.5	N_0 (min.)	W_1 (max.)
$w^* w^* w^* \text{setrgb}$							
$g_N=1.36$							
Nr. und Hex-Code	00;4	01;3	02;2	03;1	04;0		
$w^*=l^*_{\text{CIELAB},r}$ (relativ)							
w^*_{intended}	0,000	0,250	0,500	0,750	1,000	N_0 (min.)	W_1 (max.)
w^*_{out}	0,0	0,151	0,389	0,676	1,0		

OG520-5N, Bild A2-132-0: 5 gleichabständige L^* -Graustufen+ N_0+W_1 ; PS-Operator: $w^* w^* w^* \text{setrgbcolor}$

L^*/Y_{intended} (absolut)	10.9/1.2	16.6/2.2	22.2/3.5	27.8/5.4	33.5/7.7	39.1/10.7	44.7/14.3	50.3/18.7	56.0/23.9	61.6/29.9	67.2/36.9	72.8/45.0	78.5/54.1	84.1/64.3	89.7/75.8	95.4/88.5
$w^* w^* w^* \text{setrgb}$																
$g_N=1.17$																
Nr. und Hex-Code	00;F	01;E	02;D	03;C	04;B	05;A	06;9	07;8	08;7	09;6	10;5	11;4	12;3	13;2	14;1	15;0
$w^*=l^*_{\text{CIELAB},r}$ (relativ)																
w^*_{intended}	0,000	0,067	0,133	0,200	0,267	0,333	0,400	0,467	0,533	0,600	0,667	0,733	0,800	0,867	0,933	1,000
w^*_{out}	0,0	0,041	0,093	0,15	0,211	0,274	0,34	0,408	0,476	0,548	0,62	0,693	0,769	0,845	0,921	1,0

OG520-7N, Bild A3-132-0: 16 visuell gleichabständige L^* -Graustufen; PS-Operator: $w^* w^* w^* \text{setrgbcolor}$

OG52: ähnlich MG16 nach ISO 9241-306; 1MR, DH

Gesehener Y-Kontrast $Y_W:Y_N=88,9:1,25$; Y_N -Bereich 0,93 to <1,8
Eingabe: $\text{cmy0} (->\text{rgb}^*_d) \text{setcmyk}$
Ausgabe 130-0: $g_P=1,0$; $g_N=1,17$

Umfeldstufe	0	1	Ringstufe	0-1
Hex-Code			Hex-Code	
7		8	7-8	
E		F	E-F	
2		0	2-0	
8		6	8-6	
F		D	F-D	

Landoltringe W-N

Code: Umfeld-Ring

OG521-1N, Bild A4-132-0: Landoltringe W-N; PS-Operator: $w^* w^* w^* \text{setrgbcolor}$

	120	128	136	144	152	160	168	176	184	192	200	208	216	224	232	240	
120 (+8)																	240
60 (+4)																	120
30 (+2)																	60
15 (+1)																	30
	15	16	17	18	19	20	21	22	23	24	25	26	27	28	29	30	

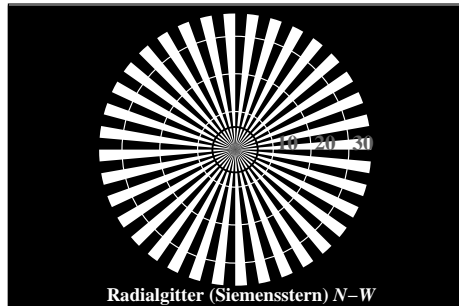
Rasterweite in lpi

OG521-3N, Bild A5-132-0: Linienraster unter 45° (oder 135°); PS-Operator: $w^* w^* w^* \text{setrgbcolor}$

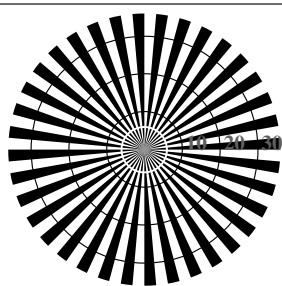
	120	128	136	144	152	160	168	176	184	192	200	208	216	224	232	240	
120 (+8)																	240
60 (+4)																	120
30 (+2)																	60
15 (+1)																	30
	15	16	17	18	19	20	21	22	23	24	25	26	27	28	29	30	

Rasterweite in lpi

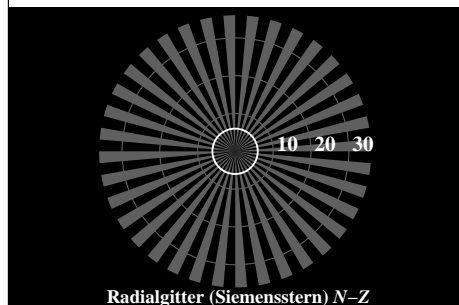
OG521-5N, Bild A6-132-0: Linienraster unter 90° (oder 0°); PS-Operator: $w^* w^* w^* \text{setrgbcolor}$



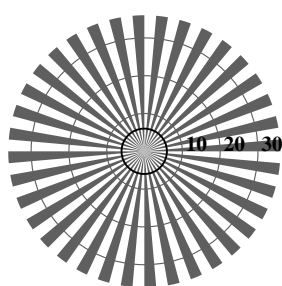
Radialgitter (Siemensstern) N-W



Radialgitter (Siemensstern) W-N



Radialgitter (Siemensstern) N-Z



Radialgitter (Siemensstern) W-Z

OG520-3N, Bild A1-134-0: Radialgitter N-W, W-N, N-Z, W-Z; PS-Operator: $w^* w^* w^* \text{setrgbcolor}$

L^*/Y_{intended} (absolut)	26.8/5.0	43.9/13.8	61.1/29.3	78.2/53.6	95.4/88.5	N_0 (min.)	W_1 (max.)
$w^* w^* w^*$ setrgb							
$g_N=1.72$							
Nr. und Hex-Code	00;4	01;3	02;2	03;1	04;0		
$w^*=l^*$ CIELAB, r (relativ)							
w^*_{intended}	0,000	0,250	0,500	0,750	1,000	N_0 (min.)	W_1 (max.)
w^*_{out}	0.0	0.092	0.303	0.609	1.0		

OG520-5N, Bild A2-134-0: 5 gleichabständige L^* -Graustufen+ N_0+W_1 ; PS-Operator: $w^* w^* w^* \text{setrgbcolor}$

L^*/Y_{intended} (absolut)	26.8/5.0	31.4/6.8	35.9/9.0	40.5/11.5	45.1/14.6	49.7/18.1	54.2/22.2	58.8/26.8	63.4/32.0	67.9/37.9	72.5/44.4	77.1/51.7	81.6/59.7	86.2/68.5	90.8/78.1	95.4/88.5
$w^* w^* w^*$ setrgb																
$g_N=1.42$																
Nr. und Hex-Code	00;F	01;E	02;D	03;C	04;B	05;A	06;9	07;8	08;7	09;6	10;5	11;4	12;3	13;2	14;1	15;0
$w^*=l^*$ CIELAB, r (relativ)																
w^*_{intended}	0,000	0,067	0,133	0,200	0,267	0,333	0,400	0,467	0,533	0,600	0,667	0,733	0,800	0,867	0,933	1,000
w^*_{out}	0.0	0.021	0.056	0.1	0.151	0.207	0.27	0.336	0.407	0.482	0.56	0.641	0.727	0.815	0.905	1.0

OG520-7N, Bild A3-134-0: 16 visuell gleichabständige L^* -Graustufen; PS-Operator: $w^* w^* w^* \text{setrgbcolor}$

OG52: ähnlich MG16 nach ISO 9241-306; 1MR, DH
Gesehener Y-Kontrast $Y_W:Y_N=88,9:5$; Y_N -Bereich 3,75 to <7,5

Umfeldstufe Hex-Code	0	7	E	2	8	F
Ringstufe Hex-Code	0-1	7-8	E-F	2-0	8-6	F-D
Landoltringe W-N						
Code: Umfeld-Ring						

OG521-1N, Bild A4-134-0: Landoltringe W-N; PS-Operator: $w^* w^* w^* \text{setrgbcolor}$

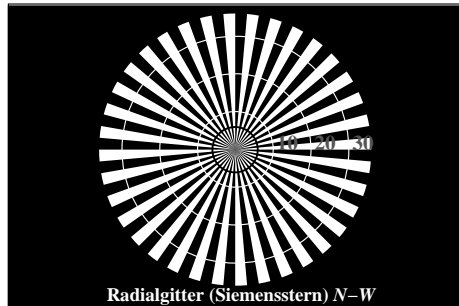
	120	128	136	144	152	160	168	176	184	192	200	208	216	224	232	240	
120 (+8)																	240
60 (+4)																	120
30 (+2)																	60
15 (+1)																	30
	15	16	17	18	19	20	21	22	23	24	25	26	27	28	29	30	
Rasterweite in lpi																	

OG521-3N, Bild A5-134-0: Linienraster unter 45° (oder 135°); PS-Operator: $w^* w^* w^* \text{setrgbcolor}$

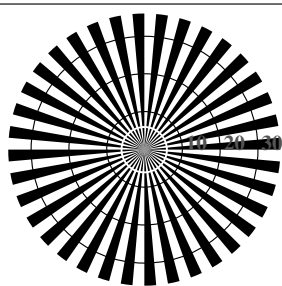
	120	128	136	144	152	160	168	176	184	192	200	208	216	224	232	240	
120 (+8)																	240
60 (+4)																	120
30 (+2)																	60
15 (+1)																	30
	15	16	17	18	19	20	21	22	23	24	25	26	27	28	29	30	
Rasterweite in lpi																	

OG521-5N, Bild A6-134-0: Linienraster unter 90° (oder 0°); PS-Operator: $w^* w^* w^* \text{setrgbcolor}$

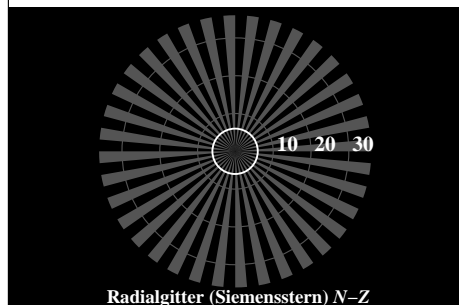
Eingabe: cmy0 ($\rightarrow \text{rgb}^*_d$) setcmyk
Ausgabe 130-0: $g_p=1.0$; $g_N=1.42$



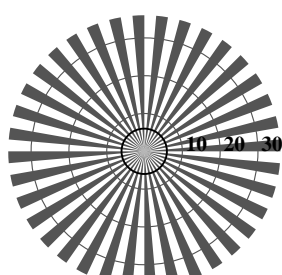
Radialgitter (Siemensstern) N-W



Radialgitter (Siemensstern) W-N



Radialgitter (Siemensstern) N-Z



Radialgitter (Siemensstern) W-Z

OG520-3N, Bild A1-135-0: Radialgitter N-W, W-N, N-Z, W-Z; PS-Operator: $w^* w^* w^* \text{setrgbcolor}$

L^*/Y_{intended} (absolut)	37.9/10.0	52.3/20.4	66.6/36.2	81.0/58.5	95.4/88.5	N_0 (min.)	W_1 (max.)
$w^* w^* w^* \text{setrgb}$							
$g_N=1.9$							
Nr. und Hex-Code	00;4	01;3	02;2	03;1	04;0		
$w^*=l^*_{\text{CIELAB},r}$ (relativ)							
w^*_{intended}	0,000	0,250	0,500	0,750	1,000	N_0 (min.)	W_1 (max.)
w^*_{out}	0,0	0,071	0,267	0,578	1,0		

OG520-5N, Bild A2-135-0: 5 gleichabständige L^* -Graustufen+ N_0+W_1 ; PS-Operator: $w^* w^* w^* \text{setrgbcolor}$

L^*/Y_{intended} (absolut)	37.9/10.0	41.8/12.3	45.6/15.0	49.4/17.9	53.2/21.3	57.1/25.0	60.9/29.1	64.7/33.7	68.6/38.8	72.4/44.3	76.2/50.3	80.0/56.8	83.9/63.9	87.7/71.5	91.5/79.7	95.4/88.5
$w^* w^* w^* \text{setrgb}$																
$g_N=1.6$																
Nr. und Hex-Code	00;F	01;E	02;D	03;C	04;B	05;A	06;9	07;8	08;7	09;6	10;5	11;4	12;3	13;2	14;1	15;0
$w^*=l^*_{\text{CIELAB},r}$ (relativ)																
w^*_{intended}	0,000	0,067	0,133	0,200	0,267	0,333	0,400	0,467	0,533	0,600	0,667	0,733	0,800	0,867	0,933	1,000
w^*_{out}	0,0	0,013	0,039	0,076	0,12	0,172	0,23	0,295	0,365	0,441	0,523	0,608	0,699	0,795	0,894	1,0

OG520-7N, Bild A3-135-0: 16 visuell gleichabständige L^* -Graustufen; PS-Operator: $w^* w^* w^* \text{setrgbcolor}$

OG52: ähnlich MG16 nach ISO 9241-306; 1MR, DH
Gesehener Y-Kontrast $Y_W:Y_N=88,9:10$; Y_N -Bereich 7,5 to <15

Umfeldstufe	0	1	Ringstufe	0-1
Hex-Code			Hex-Code	
7		8	7-8	
E		F	E-F	
2		0	2-0	
8		6	8-6	
F		D	F-D	

Landoltringe W-N

Code: Umfeld-Ring

OG521-1N, Bild A4-135-0: Landoltringe W-N; PS-Operator: $w^* w^* w^* \text{setrgbcolor}$

	120	128	136	144	152	160	168	176	184	192	200	208	216	224	232	240	
120 (+8)																	240
60 (+4)																	120
30 (+2)																	60
15 (+1)																	30
	15	16	17	18	19	20	21	22	23	24	25	26	27	28	29	30	

Rasterweite in lpi

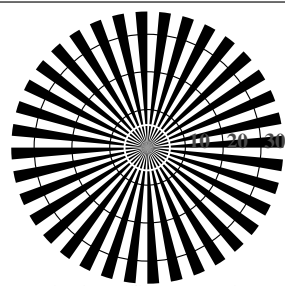
OG521-3N, Bild A5-135-0: Linienraster unter 45° (oder 135°); PS-Operator: $w^* w^* w^* \text{setrgbcolor}$

	120	128	136	144	152	160	168	176	184	192	200	208	216	224	232	240	
120 (+8)																	240
60 (+4)																	120
30 (+2)																	60
15 (+1)																	30
	15	16	17	18	19	20	21	22	23	24	25	26	27	28	29	30	

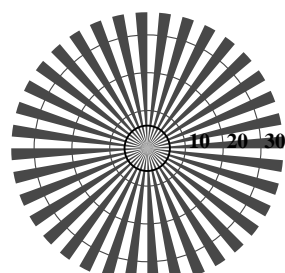
Rasterweite in lpi

OG521-5N, Bild A6-135-0: Linienraster unter 90° (oder 0°); PS-Operator: $w^* w^* w^* \text{setrgbcolor}$

Eingabe: $\text{cmy0} (-> \text{rgb}^*_d) \text{setcmyk}$
Ausgabe 130-0: $g_P=1.0$; $g_N=1.6$



Radialgitter (Siemensstern) W-N

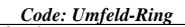


Radialgitter (Siemensstern) W-Z

$L^*/Y_{intended}$ (absolut)	52.0/20.1	62.8/31.4	73.7/46.2	84.5/65.1	95.4/88.5	N_0 (min.)	W_I (max.)
$w^* w^* w^*$ <i>setrgb</i> $g_N=2.08$							
<i>Nr. und Hex-Code</i>	00;4	01;3	02;2	03;1	04;0		
$w^*=l^*$ <i>CIE LAB, r</i> (relativ)							
$w^*_{intended}$	0,000	0,250	0,500	0,750	1,000	N_0 (min.)	W_I (max.)
w^*_{out}	0.0	0.055	0.236	0.549	1.0		

L^*Y^* _{intended} (absolut)	52.0/20.1	54.9/22.8	57.8/25.7	60.6/28.9	63.5/32.2	66.4/35.9	69.3/39.8	72.2/44.0	75.1/48.5	78.0/53.3	80.9/58.3	83.8/63.7	86.7/69.4	89.6/75.4	92.5/81.8	95.4/88.5
$w^* w^* w^*$ setrgb $g_N=1.81$																
Nr. und Hex-Code	00;F	01;E	02;D	03;C	04;B	05;A	06;9	07;8	08;7	09;6	10;5	11;4	12;3	13;2	14;1	15;0
$w^*=l^*$ CIELAB, r (relativ)																
w^* _{intended}	0,000	0,067	0,133	0,200	0,267	0,333	0,400	0,467	0,533	0,600	0,667	0,733	0,800	0,867	0,933	1,000
w^* _{out}	0.0	0.007	0.025	0.053	0.09	0.135	0.189	0.25	0.318	0.395	0.478	0.568	0.666	0.771	0.881	1.0

OG52: ähnlich MG16 nach ISO 9241-306; 1MR, DH
Gesehener Y-Kontrast $Y_W:Y_N=88,9:20$; Y_N -Bereich 15 to <30

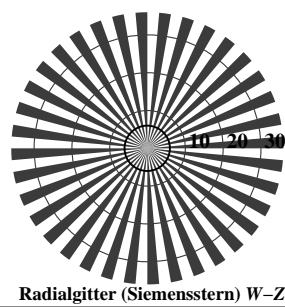
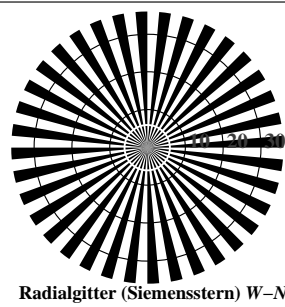


	120	128	136	144	152	160	168	176	184	192	200	208	216	224	232	240	
120 (+8)																	240
60 (+4)																	120
30 (+2)																	60
15 (+1)																	30
	15	16	17	18	19	20	21	22	23	24	25	26	27	28	29	30	
<i>Rasterweite in lpi</i>																	

	120	128	136	144	152	160	168	176	184	192	200	208	216	224	232	240	
120 (+8)																	240
60 (+4)																	120
30 (+2)																	60
15 (+1)																	30
	15	16	17	18	19	20	21	22	23	24	25	26	27	28	29	30	

Rasterweite in lpi

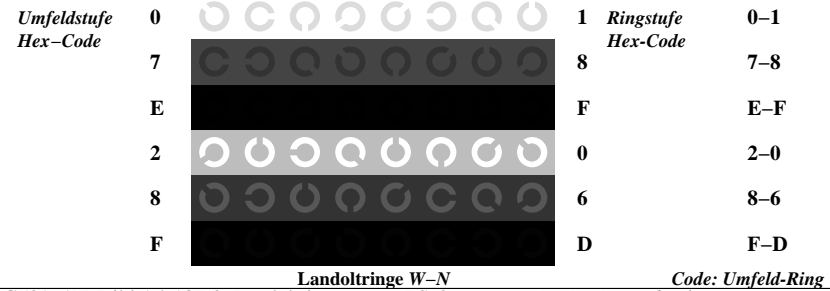
Eingabe: *cmy0* ($\rightarrow rgb^*_d$) *setcmyk*
Ausgabe 130-0: $g_P=1.0$; $g_N=1.81$



$L^*/Y_{intended}$ (absolut)	69.6/40.3	76.1/50.0	82.5/61.3	88.9/74.1	95.4/88.5	$N_0(min.)$	$W_I(max.)$
$w^* w^* w^*$ <i>setrgb</i>							
$g_N=2.26$							
<i>Nr. und Hex-Code</i>	00;4	01;3	02;2	03;1	04;0		
$w^*=l^*$ <i>CIELAB, r</i> (relativ)							
$w^*_{intended}$	0,000	0,250	0,500	0,750	1,000	$N_0(min.)$	$W_I(max.)$
w^*_{out}	0.0	0.043	0.208	0.521	1.0		

$L^*/Y_i^{\text{intended}}$ (absolut)	69.6/40.3	71.4/42.7	73.1/45.3	74.8/48.0	76.5/50.7	78.2/53.6	79.9/56.6	81.6/59.7	83.4/62.9	85.1/66.2	86.8/69.6	88.5/73.2	90.2/76.8	91.9/80.6	93.6/84.5	95.4/88.5
$w^* w^* w^*$ setrgb $g_N=2.1$																
Nr. und Hex-Code	00;F	01;E	02;D	03;C	04;B	05;A	06;9	07;8	08;7	09;6	10;5	11;4	12;3	13;2	14;1	15;0
$w^*=l^*$ CIELAB, r (relativ)																
w^*_{intended}	0,000	0,067	0,133	0,200	0,267	0,333	0,400	0,467	0,533	0,600	0,667	0,733	0,800	0,867	0,933	1,000
w^*_{out}	0.0	0.003	0.014	0.033	0.062	0.098	0.145	0.201	0.265	0.341	0.426	0.52	0.625	0.74	0.864	1.0

OG52: ähnlich MG16 nach ISO 9241-306; 1MR, DH
Gesehener Y -Kontrast $Y_W:Y_N=88,9:40$; Y_N -Bereich 30 to <60



	120	128	136	144	152	160	168	176	184	192	200	208	216	224	232	240	
120 (+8)																	240
60 (+4)																	120
30 (+2)																	60
15 (+1)																	30
	15	16	17	18	19	20	21	22	23	24	25	26	27	28	29	30	

Rasterweite in lpi

	120	128	136	144	152	160	168	176	184	192	200	208	216	224	232	240	
120 (+8)																	240
60 (+4)																	120
30 (+2)																	60
15 (+1)																	30
	15	16	17	18	19	20	21	22	23	24	25	26	27	28	29	30	

Rasterweite in *lpi*

Eingabe: *cmy0* ($\rightarrow rgb^*_d$) *setcmyk*
Ausgabe 130-0: $g_P=1.0$; $g_N=2.1$